

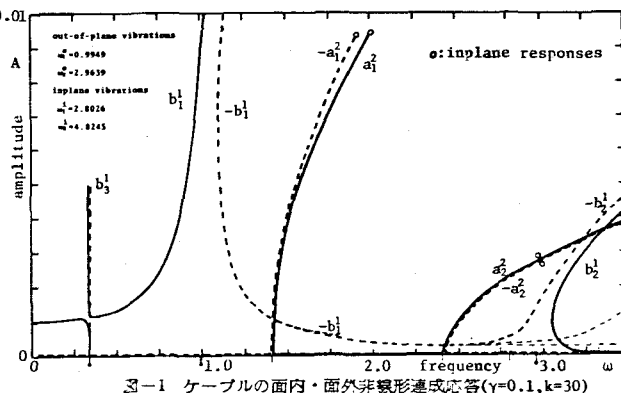
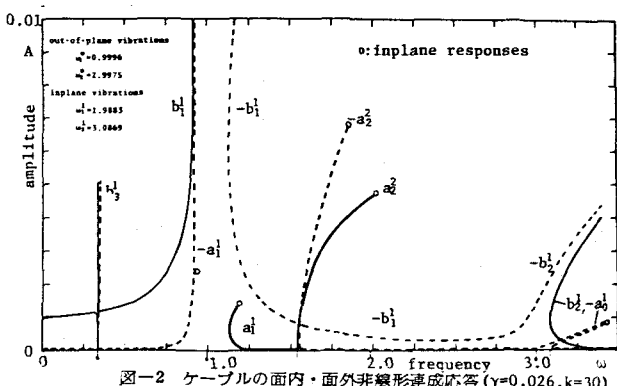
長崎大学工学部 学生員。戸田和之

長崎大学工学部 永田正美

長崎大学工学部 正員 高橋和雄

1. 緒言 ケーブルは面外方向にサグを持たるので、面外方向の剛性は面内方向の剛性よりもかなり小さき。このために、小さな面外加振力によって面外非線形応答が生じるが、第1報に述べたように、ケーブルの第3次元非線形構造特性から、面内振動が付随する面内・面外非線形連成応答が生じてくる。また、面内加振によって非線形項をかりして、面外振動が分歧する面外非線形分歧応答(面外係釣れ振動)が生じる。本論文では、このような面内・面外非線形連成応答および面外非線形分歧応答の解析結果を報告するものである。

2. 面外加振による面内・面外非線形連成応答 第1報に示された3種のケーブルの運動方程式の中の第1式および2式の面内変位 a_i , b_i に関する運動方程式の非線形項の中に、 $(\frac{\partial \omega}{\partial x})x^2$ および $(\frac{\partial \omega}{\partial z})z^2$ の項が含まれる。これらの項は面内変位 a_i , b_i に無関係であるので、面外応答による面内方向の付加外力の頂となり面内方向の加振力となる。これより、面内振動と面外振動は必ず連成する。ケーブルは面外方向にサグを持たないので、ケーブルの面外方向の運動方程式に面外変位 b_i に関する2次の非線形項は存在しない。したがって、面外加振による面外応答は、弦と同様に3次の非線形項のみが効いてくるので、面外振動はケーブルの面内をはさんで対称となり、面外非線形応答については主共振と3倍の高調波共振が生じる($b_0 = 0$, $b_1 \neq 0$, $b_2 = 0$, $b_3 \neq 0$)。一方、面内方向には $(\frac{\partial \omega}{\partial x})x^2$ の項が存在するので、2倍角の公式 $\cos^2 \omega t = \frac{1}{2}(1 + \cos 2\omega t)$ より、定数項すなわち静的荷重と2倍の高調波振動数をもつ加振力が作用する。したがって、面内応答は2倍の高調波応答と静的応答からなる($a_0 \neq 0$, $a_1 \neq 0$, $a_2 \neq 0$, $a_3 = 0$)。図-1および2は、ケーブルの面内および面外の自由度をそれぞれ2個採用した場合の、水平ケーブル(傾斜角 $\theta = 0^\circ$, 伝播速度 $c_0 = 30$)のサグ比 $\gamma = 0.1$ および0.026の面内・面外非線形連成応答を示すものである。図中において、細い方の実線は面内応答と同位相の振幅を、点線は逆位相の振幅をそれぞれ示したもので、○印を付した肉太の実線と点線は面内応答に対応するものである。2つの

図-1 ケーブルの面内・面外非線形連成応答($y=0.1, k=30$)図-2 ケーブルの面内・面外非線形連成応答($y=0.026, k=30$)

の図より面外荷重が対称であるため面外応答の共振は対称1次および2次の固有振動数 $\omega = 1.0$ および3.0付近で生じている。このことから、面外1次振動の応答は弱い硬化バネ特性を有する。一方、面内方向には、面外非線形振動によつて面内非線形振動のみが共振され、面内応答は常に生じるが、共振点近傍を除いては応答はきわめて小さ

1)。図-1 のサゲ比 $\gamma = 0.1$ の場合には、振動数 $\omega = 1.0$ および 1.9付近で面内対称振動の共振が生じてります。これらの領域においては、面外振動の逆位相の振幅が小さいので、応答曲線が生じる振動数の領域は狭い。一方、サゲ比 $\gamma = 0.026$ の場合には、面内振動は $\omega = 1.0$ および 1.5付近で生じています。このサゲ比では、面内対称 1 次振動の固有振動数が面外対称 1 次振動の 2 倍であるために、面外振動によって、面内 1 次振動の近傍に大きな加振力が作用する。このために、面内 1 次振動の共振が生じる振動数領域は広く、大きな振幅が生じています。また、振動数 $\omega = 3.0$ 付近で面内応答が生じています。この応答は、面内 1 次振動の直流成分 a_0^1 が卓越する静的応答である。なお、サゲ比 $\gamma = 0.026$ の場合には、振動数 $\omega = 1.0$ 付近で面外 2 次振動の 3 倍の高調波共振および面外 1 次振動の 3 重連成振動が生じますため、この振動数領域の応答の様相はきめめて複雑となるので、図-2 においては省略されています。

3. 面内加振による面外分岐応答

面内加振によって面内振動が加振されるが、面外運動方程式の非線形項の面外変位 u の係数に、面内変位 u 、 v の項が含まれているために、面外振動の係数が時間的に変動する係数励振振動問題が得られます。この問題の解法には、面外非線形分岐応答とみなす解法と、面外について $(\frac{du}{dx})^3$ の項を省略した線形係数励振振動の不安定領域を求め 3 解法の 2 つの立場から取扱うことができる。前者の立場に立って、面内・面外・非線形連成振動解析用のプログラムを用いてそのまま解析することができます。図-3 および 4 はサゲ比 $\gamma = 0.1$ および 0.026 の場合の、面内対称加振による面内非線形応答と面外分岐応答曲線を示したものである。図中で、○印を付した太い曲線が面外分岐応答を、また□印を付した細い曲線が面外分岐応答に伴う面内応答を示しており、□印のない応答曲線は、第 2 級の面内応答と同じものである。面外分岐応答は特定の振動数領域で存在し、他の振動数領域はゼロである。図-3 および 4 においては、面外 1 次および 2 次の振動形を持つ応答が、各々の固有振動数の 1/2 および 1/3 倍の近傍で生じています。これは、面内振動の振幅によって面外剛性が変化するので、面外の固有振動数は線形振動の場合と一般に一致しません。また、面外分岐応答と面内応答との位相差は 0° または 180° の非線形自由振動に対応するものである。面外分岐応答が生じると、面内応答の振幅は通常の面内応答の場合よりも小さくなる。この原因是面内振動のエネルギーが面外振動のエネルギーに移ることによるものと考えられる。以上の解法によれば、面外分岐応答の分岐点と分岐後の挙動を明らかにすることができます。一方、線形問題として取扱えば、分岐振動が生じる振動数領域が求められる。この場合には、式(3)を線形化した時間に関する運動方程式を $S = e^{j\omega t} \left\{ \frac{1}{2} b_0 + \sum_n (a_n \sin n\omega t + b_n \cos n\omega t) \right\}$ のように仮定して、行列の固有値問題に変換して安定・不安定を解析することができる。不安定領域で分岐振動が生じることになる。

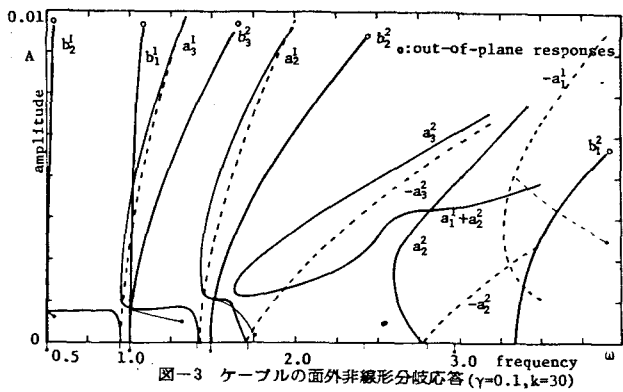


図-3 ケーブルの面外非線形分岐応答 ($\gamma=0.1, k=30$)

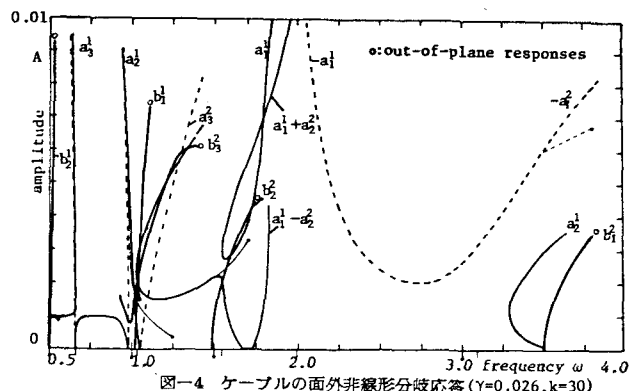


図-4 ケーブルの面外非線形分岐応答 ($\gamma=0.026, k=30$)